

УДК 538.931

НИЗКОТЕМПЕРАТУРНЫЕ СПЕКТРАЛЬНЫЕ СВОЙСТВА 1D-МАГНЕТИКА С ЧЕРЕДУЮЩИМИСЯ ВЗАИМНО ОРТОГОНАЛЬНЫМИ ПЛОСКОСТЯМИ ЛЕГКОГО НАМАГНИЧИВАНИЯ

© 2015 г. В. В. Вальков¹, М. С. Шустин²

E-mail: vvv@iph.krasn.ru, mshustin@yandex.ru

Методом диаграммной техники в атомном представлении вычислен спектр возбуждений четырех-подрешеточной ферримагнитной цепочки Гейзенберга с чередующимися, взаимно ортогональными плоскостями легкого намагничивания. Показано, что при низких температурах спектр элементарных возбуждений системы близок к спектру магнетика с эффективной анизотропией типа “легкая ось”, направленной вдоль линии пересечения плоскостей легкого намагничивания.

DOI: 10.7868/S036767651506037X

ВВЕДЕНИЕ

Недавно был синтезирован квазиодномерный магнетик *catena*-[Fe^{II}(ClO₄)₂{Fe^{III}(bpcsa)₂}(ClO₄) (далее *SCM-catena*) с чередующимися низкоспиновыми ($S = 1/2$) и высокоспиновыми ($S = 2$) состояниями магнитоактивных ионов железа. Магнитные состояния высокоспиновых ионов формируются при участии сильной одноионной анизотропии типа “легкая плоскость” [1], ориентация которой меняется при переходе от одного высокоспинового иона железа к другому (рис. 1). При этом экспериментальные исследования [2] показывают, что данное соединение проявляет свойства, характерные для магнетиков с анизотропией типа “легкая ось”. В этой связи представляется актуальным выяснение причины такого расхождения. В данной работе решение поставленной задачи осуществлено на основе микроскопического расчета спектра возбуждений анизотропного четырехподрешеточного *SCM-catena* и установления соответствия со спектром возбуждения легкоосного ферримагнетика.

ГАМИЛЬТониАН *SCM-catena*

Магнитные свойства одноцепочечного магнетика *SCM-catena*, магнитная структура которого изображена на рис. 1, будем описывать в рамках модели ферримагнитной гейзенберговской це-

почки с одноионной анизотропией типа “легкая плоскость”:

$$\begin{aligned}
 H_G = & J \sum_f [\bar{S}_{f,A} \bar{S}_{f,B} + \bar{S}_{f,B} \bar{S}_{f,C} + \bar{S}_{f,C} \bar{S}_{f,D} + \bar{S}_{f,D} \bar{S}_{f+1,A}] + \\
 & + 2D \sum_f \left[(S_{f,A}^x)^2 + (S_{f,C}^y)^2 \right] - \\
 & - h \left(g_1 (S_{f,A}^z + S_{f,C}^z) + g_2 (S_{f,B}^z + S_{f,D}^z) \right),
 \end{aligned} \tag{1}$$

где $\bar{S}_{f,A}$ и $\bar{S}_{f,C}$ – векторные операторы спиновых моментов ионов железа в высокоспиновых (HS) состояниях со спином $S = 2$, принадлежащих маг-

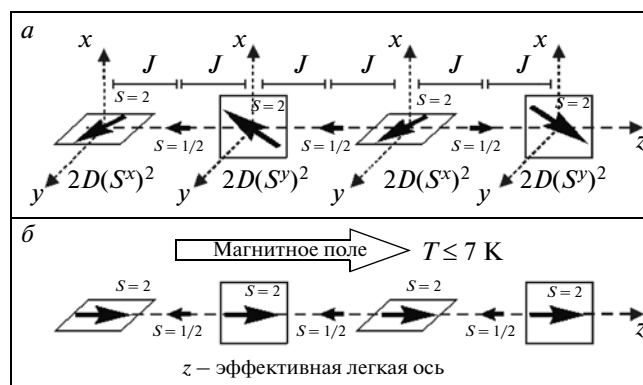


Рис. 1. *a* – Взаимная ориентация плоскостей легкого намагничивания *SCM-catena*; *б* – реализуемый в четырехподрешеточном ферримагнетике при $T \leq 7$ К ближний порядок. Принята следующая последовательность обозначений подрешеток в элементарной ячейке: *A–B–C–D*.

¹ Федеральное государственное бюджетное учреждение науки Институт физики имени Л.В. Киренского Сибирского отделения Российской академии наук, Красноярск.

² Федеральное государственное автономное образовательное учреждение высшего профессионального образования “Сибирский федеральный университет”, Россия.

нитной ячейке f (ячейка содержит четыре магнитных иона) и находящихся в позициях A и C . Эти ионы подвержены действию одноионной анизотропии типа “легкая плоскость”. Интенсивность анизотропии определяется параметром D . Существенно, что ориентация направления плоскостей легкого намагничивания изменяется при переходе от одного HS -иона железа к другому: для ионов железа в позициях A плоскостью легкого намагничивания является плоскость YUZ , тогда как для ионов железа в позициях C – плоскость XOZ ; $\vec{S}_{f,B}$ и $\vec{S}_{f,D}$ – векторные операторы спиновых моментов ионов железа в низкоспиновых (LS) состояниях со спином $S = 1/2$, принадлежащих магнитной ячейке f и находящихся в позициях B и D ; h – внешнее магнитное поле в энергетических единицах, g_1 и g_2 – g -факторы для HS - и LS -ионов соответственно. J – интеграл обмена между ближайшими соседними ионами. Из экспериментальных данных известно, что $J \approx 20$ К, а $D \approx 7$ К [2].

При вычислении низкотемпературного спектра возбуждений учтем, что при $T \leq 7$ К в соединении SCM -catena реализуется экспериментально наблюдаемый ближний ферромагнитный порядок (рис. 1б) [2]. Примем, что спонтанная намагниченность всех ионов ориентирована вдоль оси z . После включения эффектов самосогласованного поля, гамильтониан системы запишется в виде

$$H_G = \sum_{f \in A} H_{0,A}(f) + \sum_{g \in B} H_{0,B}(g) + \sum_{k \in C} H_{0,C}(k) + \sum_{l \in D} H_{0,D}(l) + H_{corr}, \quad (2)$$

где одноионные операторы для четырех введенных подрешеток имеют вид

$$\begin{aligned} H_{0,A}(f) &= D(S_f^x)^2 - \bar{h}_1 g_1 S_f^z; & H_{0,B}(g) &= -\bar{h}_2 g_2 S_g^z; \\ H_{0,C}(k) &= D(S_k^y)^2 - \bar{h}_1 g_1 S_k^z; & H_{0,D}(l) &= -\bar{h}_2 g_2 S_l^z; \end{aligned} \quad (3)$$

$$\bar{h}_1 = h + 2J\sigma, \quad \bar{h}_2 = h - 2J\tilde{S}.$$

При записи (3) для магнитного упорядочения, показанного на рис. 1, были введены обозначения $\tilde{S} = \langle S_{f,A}^z \rangle = \langle S_{f,C}^z \rangle$ и $\sigma = -\langle S_{f,B}^z \rangle = -\langle S_{f,D}^z \rangle$.

Слагаемое H_{corr} в (2) при использовании циркулярных спиновых операторов и введении трех-

компонентного оператора $\vec{u} = \{S^z, S^+, S^-\}$ может быть записано в виде

$$\begin{aligned} H_{corr} &= J \sum_{\langle fg \rangle} (\Delta \vec{u}_f, V \Delta \vec{u}_g) + J \sum_{\langle gk \rangle} (\Delta \vec{u}_g, V \Delta \vec{u}_k) + \\ &+ J \sum_{\langle kl \rangle} (\Delta \vec{u}_k, V \Delta \vec{u}_l) + J \sum_{\langle lf \rangle} (\Delta \vec{u}_l, V \Delta \vec{u}_f), \end{aligned} \quad (4)$$

где $\Delta \vec{u} = \vec{u} - \langle \vec{u} \rangle$, $f \in A$, $g \in B$, $k \in C$, $l \in D$. Матрица V в случае изотропного обменного взаимодействия между ближайшими магнитными ионами имеет компоненты: $V = [1, 0, 0; 0, 0, 1/2; 0, 1/2, 0]$.

Для вычисления спектра возбуждений воспользуемся идеологией атомного представления, позволяющего корректно учитывать сильную одноионную анизотропию [3]. Ведение атомного представления предполагает диагонализацию гамильтониана $H_{0,A}(f)$. Решение такой задачи удобно осуществлять методом унитарных преобразований группы $U(N)$ [4]. При этом получаем систему уравнений самосогласования для нахождения параметров преобразования и эффективных полей:

$$\tilde{S}(\sigma) = 2 \cos^2 \beta \cos 2\alpha; \quad \sigma(\tilde{S}) = \frac{1}{2} \text{th} \left(\frac{\bar{h}_2}{2T} \right). \quad (5)$$

$$\begin{aligned} 2\bar{h}_1 \sin 2\beta \cos \beta + \sqrt{6}D(\cos \alpha - \sin \alpha) \sin \beta &= 0, \\ (2D + \bar{h}_1 \cos 2\alpha) \sin 2\beta + \\ + \sqrt{6}D(\cos \alpha + \sin \alpha) \cos 2\beta &= 0. \end{aligned} \quad (6)$$

СПЕКТР ЭЛЕМЕНТАРНЫХ ВОЗБУЖДЕНИЙ

Введем построенные на операторах Хаббарда $X_{ji}^{nm} = |\Psi_{fi}^n\rangle \langle \Psi_{fi}^m|$ функции Грина в атомном представлении $D_{nm,pq}(fi\tau; f'j\tau') = -\langle T_\tau \tilde{X}_{fi}^{nm}(\tau) \tilde{X}_{f'j}^{pq}(\tau') \rangle$. Здесь i и j – индексы подрешеток, а функции $|\Psi_{fi}^n\rangle$ определяются из решения уравнения Шрёдингера для одноионной задачи для каждого иона.

Вывод уравнения Ларкина, позволяющего получать дисперсионное уравнение для анизотропных магнетиков, подробно изложен в [3, 4]. В основе решения системы большого числа линейных уравнений лежит использование расщепленного по индексам корневых векторов характера матричных элементов в атомном представлении. Обобщая такой подход на случай четырех подрешеток, получим, что спектр элементарных возбуждений SCM -catena определяется уравнением

$$\Delta(q, \omega) = \det \left[\left[\hat{U}(\omega), \hat{0}, \hat{0}; \hat{0}, \hat{\Phi}(\omega), \hat{W}(\omega); \hat{0}, \hat{W}(\omega), \hat{\Phi}(-\omega) \right] \right] = 0, \quad (7)$$

где $\hat{0}$ – трехмерная нулевая матрица. Матрицы $\hat{U}(\omega)$ и $\hat{W}(\omega)$ имеют вид

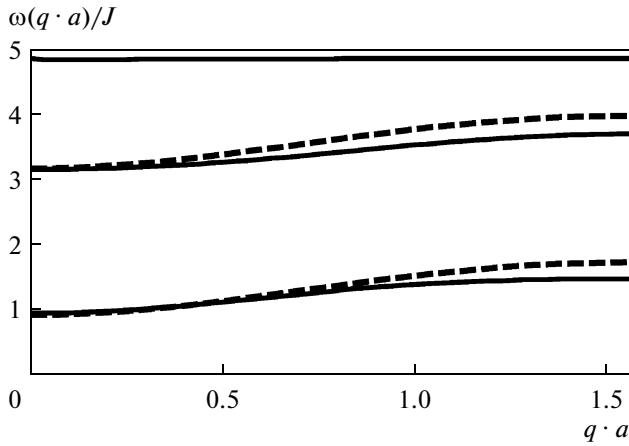


Рис. 2. Низкотемпературный спектр элементарных возбуждений четырехподрешеточного ферримагнетика *SCM-catena* при $D = J/3$ (сплошные линии). Пунктирными линиями показан спектр возбуждений, полученный для ферримагнетика, в котором анизотропия с чередующимися ориентациями плоскостей легкого намагничивания заменена на эффективную легкоосную анизотропию с $D_{ef} = -J/8$.

$$\hat{U}(\omega) = J \begin{pmatrix} -1 & u_A(\omega) & 0 & u_A(\omega)e^{-4iq} \\ u_B(\omega) & -1 & u_B(\omega) & 0 \\ 0 & u_A(\omega) & -1 & u_A(\omega) \\ u_B(\omega)e^{4iq} & 0 & u_B(\omega) & -1 \end{pmatrix};$$

$$\hat{W}(\omega) = \frac{J}{2} \begin{pmatrix} 0 & w(\omega) & 0 & w(\omega)e^{-4iq} \\ 0 & 0 & 0 & 0 \\ 0 & -w(\omega) & 0 & -w(\omega) \\ 0 & 0 & 0 & 0 \end{pmatrix},$$

$$u_{A,B}(\omega) = \sum_{\alpha \in A,B} |\gamma_{\parallel}(\alpha)|^2 (\omega + \bar{\alpha} \bar{E})^{-1} b(\bar{\alpha}),$$

$$z_{A,B}(\omega) = \sum_{\alpha \in A,B} |\gamma_{\perp}(\alpha)|^2 (\omega + \bar{\alpha} \bar{E})^{-1} b(\bar{\alpha}); \quad (8)$$

$$w(\omega) = \sum_{\alpha \in A} \gamma_{\perp}(\alpha) \gamma_{\perp}(-\alpha) (\omega + \bar{\alpha} \bar{E}^{(HS)})^{-1} b(\bar{\alpha}),$$

где $\gamma_{\parallel}(\alpha)$ и $\gamma_{\perp}(\alpha)$ – соответственно продольные и поперечные параметры представления спиновых операторов через операторы Хаббарда. Матрица $\hat{U}(\omega)$ определяет продольные ветви элементарных возбуждений рассматриваемого магнетика. Матрица $\hat{F}(\omega)$, отвечающая, наряду с матрицей $\hat{F}(-\omega)$, за поперечные ветви спектра элементарных возбуждений, может быть получена из матрицы $\hat{U}(\omega)$ путем замены: $J \rightarrow J/2$ и $u_{A,B}(\omega) \rightarrow z_{A,B}(\omega)$.

Результаты численного решения уравнения (7) при $T \ll J$ представлены на рис. 2. Сплошные линии отражают квазиимпульсные зависимости ветвей спектра возбуждений *SCM-catena*. Пунктирными линиями представлены квазиимпульсные зависимости ветвей спектра для эффективной модели ферримагнитной цепочки гейзенберга с одноионной анизотропией типа “легкая ось”. При этом принималось, что $D \rightarrow D_{ef} = -J/8$, а операторные выражения $D(S_f^x)^2$ и $D(S_k^y)^2$ заменяли на $D_{ef}(S_f^z)^2$ и $D_{ef}(S_k^z)^2$. Из сравнения этих зависимостей следует, что в области низких температур *SCM-catena* действительно проявляет свойства, характерные для легкоосного ферримагнетика.

ВЫВОДЫ

Представленные результаты показывают, что при низких температурах спектр возбуждений *SCM-catena* соответствует спектру 1D-ферримагнетика с эффективной осью легкого намагничивания, направленной вдоль оси цепочки. Для обеих моделей спектр возбуждений характеризуется наличием щели величиной $\Delta \sim J$ и небольшой относительно Δ дисперсией основных ветвей возбуждений. Это означает, что на качественном уровне энергетическая структура одномерного четырехподрешеточного ферримагнетика с чередующимися ориентациями плоскостей легкого намагничивания для высокоспиновых ионов железа воспроизводится одночастичным спектром возбуждений ферримагнитной изинговской цепочкой для которой $\Delta = 2JS_1S_2$, а дисперсия ветвей полностью отсутствует. Этот важный вывод позволяет перейти к исследованию термодинамических свойств *SCM-catena* во всем температурном интервале на основе точного вычисления статистической суммы для одномерной модели Изинга с несколькими подрешетками методом трансфер-матрицы.

Работа выполнена при поддержке Российского фонда фундаментальных исследований (гранты № 13-02-00523, 13-02-98013, 14-02-31237).

СПИСОК ЛИТЕРАТУРЫ

1. *Kajiwara T., Nakano M., Kaneko Y., Takaishi S., Ito T., Yamashita M., Igashira-Kamiyama A., Nojiri H., Ono Y., Kojim N.* // J. Amer. Chem. Soc. 2005. V. 127. P. 10150.
2. *Kajiwara T., Tanaka H., Yamashita M.* // Pure Appl. Chem. 2008. V. 80. P. 2297.
3. *Вальков В.В., Валькова Т.А., Овчинников С.Г.* // ЖЭТФ. 1985. V. 88. P. 550.
4. *Вальков В.В., Валькова Т.А.* // ТМФ. 1988. V. 76. P. 143.